

·研究论文 ·

抗残杀威和敏感家蝇乙酰胆碱酯酶生化特性研究

袁建忠^{1,2}, 孙晓琴¹, 唐振华^{1,2}, 陶黎明^{*1,3}

(1. 华东理工大学 药学院, 上海 200237; 2 中国科学院 上海生命科学院 上海植物生理生态研究所, 上海 200032;
3 上海市农药研究所, 上海 200032)

摘要:对家蝇残杀威抗性(RR)和敏感(SS)品系乙酰胆碱酯酶(acetylcholinesterase, AChE)(RR-和SS-AChE)的生化特性研究后发现, RR-和SS-AChE存在着明显的差异: 1) RR-和SS-AChE最适反应温度分别为37 和34 ,但最适pH值均为7.4; 2) AChE催化底物的能力不同, RR-AChE水解碘化硫代乙酰胆碱(ATCh)、碘化硫代丁酰胆碱(BTCh)、碘化硫代丙酰胆碱(PTCh)的活力高于SS-AChE,其相应的最大反应速率(V_{max})分别是SS-AChE的2.22、1.08和3.41倍; 3)从双分子速率常数(bimolecular constant, K_i)来看, RR-AChE对4种氨基甲酸酯类抑制剂(残杀威、克百威、甲萘威、灭多威)的敏感度分别是SS-AChE的46.77、28.15、66.15和15.00倍,对4种有机磷类抑制剂(马拉氧磷、甲胺磷、氧化乐果和氧化三唑磷)的敏感度分别是7.66、12.13、3.81和2.25倍; 4)上述抑制剂与RR-AChE分子相互作用的亲和力常数(K_a)均大于与SS-AChE的值; 5) RR-AChE的磷酰化或氨基甲酰化常数(K_2)值都低于SS-AChE的值。表明RR-AChE的性质已发生变化。

关键词:家蝇; 杀虫剂; 乙酰胆碱酯酶; 抗药性; 酶动力学分析

中图分类号:S481.4; Q965.9

文献标志码:A

文章编号:1008-7303(2009)02-0181-05

Study on Biochemical Properties of Acetylcholinesterase from Propoxur-Resistant and Susceptible Strains of the Housefly, *Musca domestica*

YUAN Jian-zhong^{1,2}, SUN Xiao-qin¹, TANG Zhen-hua^{1,2}, TAO Lin-ming^{*1,3}

(1. School of Pharmacy, East China University of Science & Technology, Shanghai 200237, China;

2 Shanghai Institute of Plant Physiology and Ecology, Shanghai Institutes for Biological Sciences, the Chinese Academy of Sciences, Shanghai 200032, China; 3 Shanghai Pesticide Research Institute, Shanghai 200032, China)

Abstract: It was found by study of biochemical properties of acetylcholinesterase (RR- and SS-AChE) that the propoxur-resistant (RR) and susceptible (SS)-AChE of the housefly, *Musca domestica* were different in the following aspects. 1) The optimum temperature of AChE in the RR and SS strains was found at 37 and 34, respectively. But the optimum pH value was all the same, 7.4. 2) The capability of substrate hydrolyzed by the two AChEs existed markedly difference. The V_{max} ratios of RR- to SS-AChE were 2.22 for ATCh, 1.08 for BTCh and 3.41 for PTCh. 3) Based on the bimolecular rate constant (K_i), the RR-AChE was 46.77-, 28.15-, 66.15- and 15.00-fold less sensitive to four carbamates (propoxur, carbofuran, carbaryl and methomyl) and was 7.66-, 12.13-, 3.81 and 2.25-fold

收稿日期:2008-08-08;修回日期:2008-12-30

作者简介:袁建忠(1969-),男,硕士,助理研究员, E-mail: yuangang188@126.com; 孙晓琴(1983-,并列第一作者),女,湖北省人,硕士研究生; *通讯作者(Author for correspondence):陶黎明(1958-),男,上海人,博士生导师,主要从事杀虫剂分子毒理学研究。联系电话:021-59883850; E-mail: taolm@sh163.net

基金项目:国家重点基础研究发展计划("973"计划)项目(2003CB114403).

less sensitive to four organophosphates malaoxon, methamidophos, omethoate and triazophos oxon, respectively. 4) The affinity constant (K_a) values of the tested inhibitors with RR-AChE were all higher than that of SS-AChE. 5) The phosphorylation or carbamylation constant (K_2) values of RR-AChE were all less than that of SS-AChE. All these data implied that RR-AChE was qualitatively altered.

Key words: Musca domestica; insecticides; acetylcholinesterases; resistance; AChE kinetic analysis

据报道,家蝇对常用杀虫剂均已产生抗性^[1],其中对有机磷(OP)和氨基甲酸酯类(CB)杀虫剂的主要抗性机理除了解毒酶活性增高外,还有靶标酶——乙酰胆碱酯酶(AChE, EC, 3.1.17)敏感度降低^[2,3]。在许多昆虫中已被证实靶标抗性与AChE基因(ace)突变有关^[4]。不少学者应用定点突变技术,对不同突变组合的ace表达的AChE蛋白的功能进行了研究,进一步揭示了ace不同位点的突变及其组合与抗性的关系^[5~8]。笔者曾对残杀威抗性(RR)和敏感(SS)家蝇品系的抗性谱和抗性机理进行了研究,并对这两个品系的ace基因进行了克隆和序列比较,发现其抗性与4个基因突变(V261L、G343A、F408Y和D422V)有关,并对这些突变基因进行了表达和功能的研究^[5,9],但对RR和SS品系的AChE(RR和SS-AChE)的生化特性尚未进行详细研究,也未见相关报道,本文就这方面的研究结果报告如下。

1 材料与方法

1.1 供试昆虫

敏感(SS)和抗性家蝇(RR)品系的选育和抗性谱见前文^[5,9]。

1.2 试剂及仪器

二硫双对硝基苯甲酸(DTNB)、曲通X-100、碘化硫代乙酰胆碱(ATCh)、碘化硫代丙酰胆碱(PTCh)、碘化硫代丁酰胆碱(BTCh)均为Sigma公司产品;98%灭多威(methomyl)、99.9%残杀威(propoxur)、97.7%甲萘威(carbaryl)、99.4%克百威(carbofuran)、98.5%甲胺磷(methamidophos)、95%氧乐果(omethoate)、95.5%马拉氧磷(malaoxon)、94%氧化三唑磷(triazophos oxon)均为迪马公司产品;考马斯亮蓝G-250和牛血清白蛋白 bovine serum albumin, BSA为Fluka公司产品。

Baekman DU-640蛋白核酸分析仪;PERKIN ELMER GeneAmp 2400PCR仪。

1.3 实验方法

1.3.1 家蝇粗酶源的制备 将羽化后2~3d的家蝇成虫置于-72℃的超低温冰箱内30min,取

其头部,按每400头加5mL冰冷磷酸缓冲液(PB,25mmol/L,pH7.4,含1%曲通-100)的比例,于冰上匀浆。匀浆液于4~12000×g离心24min,经脱脂棉过滤,取上清液作为酶源,4℃下保存备用。

1.3.2 家蝇AChE活性测定 采用Elman^[10]比色法,并经改进^[11]。以AChE水解底物生成的巯基与DTNB结合产生黄色产物的量作为AChE活力的指标。于412nm下测定光密度值(OD),计算AChE活力。

500μL酶反应体系中含有50μL酶和450μL25mmol/L的Elman溶液。其中,25mmol/L的Elman溶液由50mL显色剂和50μL1mol/L的ATCh(PTCh或BTCh)组成。

显色剂的配制:称取DTNB 91mg和碳酸氢钠37.5mg,用25mmol/L的PB缓冲液溶解并定容至1L。

1.3.3 RR和SS-AChE最适反应pH值测定 用pH值为5.8、6.0、6.2、6.4、6.6、6.8、7.0、7.2、7.4、7.6、7.8、8.0的PB缓冲液,分别从抗性和敏感家蝇中提取RR和SS-AChE,再分别取50μL酶液,加入450μL25mmol/L的Elman溶液中,室温下混匀,在蛋白核酸分析仪上测定其在412nm处的OD值,分别计算RR和SS-AChE的活力。每处理至少重复3次。

1.3.4 RR和SS-AChE最适反应温度测定 将用最适pH值的PB缓冲液提取的AChE 50μL置于聚合酶链反应(PCR)管中,在PCR仪上设定温度在4~50℃之间,分别保育10min后加入到450μL Elman溶液中,在蛋白核酸分析仪上测定其在412nm下的OD值,计算不同反应温度下RR和SS-AChE的活力。每处理至少重复3次。

1.3.5 RR和SS-AChE最适底物比较 分别以1μmol/L至200mmol/L的ATCh、BTCh和PTCh为底物,在最适反应温度下水解,混匀后测定RR和SS-AChE的活性。每处理至少重复3次。

1.3.6 RR和SS-AChE双分子速率常数(K_i)值的测定 参照Fournier^[12]方法,将酶与抑制剂混合

后,在最适 pH 值及 25 mmol/L 的 PB 中孵育。分别在不同时段取其 50 μL 加入到 450 μL Elman 溶液中,测定剩余酶活力。剩余自由酶 [E]/[E₀] 随时间的变化可用剩余酶活力 [A]/[A₀] 来表示。抑制动力学的测定采用不同浓度的抑制剂;以抑制剂的浓度和作用时间作为变量,利用多重非线性回归软件 GOSA 1.0 分析 K_i 值。

1.3.7 RR- 和 SS-AChE 磷酰化或氨基甲酰化常数 (K₂) 和亲和力常数 (K_a) 的测定 参考 Main^[13] 的方法,将酶与不同浓度的抑制剂混合后,在最适 pH 值及 25 mmol/L 的 PB 中孵育。3 min 内,于不同时间段取出 50 μL 加入到 450 μL Elman 溶液中,测定剩余酶活力。以抑制剂的浓度和作用时间为变量,通过 Main 的公式求出 K₂ 和 K_a。

1.3.8 AChE 热稳定性测定 参考 Shi 的方法^[6],将 RR- 和 SS-AChE 分别置于 40~60 下进行热变性。在热变性过程的不同时间(时间间隔为 2 min)各取出 50 μL 酶液,加入到 450 μL Elman 溶液中,测定剩余酶活力。一级变性速率常数 (K_d) 用非线性回归软件 GOSA 1.0 分析。

1.3.9 蛋白质含量测定 参考 Bradford 考马斯亮蓝法^[14]。

2 结果与分析

2.1 pH 值对 AChE 活力的影响

通过对 RR- 和 SS-AChE 反应速度与缓冲液 pH 值关系的研究发现,pH 值为 7.4 时,RR- 和 SS-AChE 活力均最高(图 1)。pH 值 < 7.4 时,SS- 和 RR-AChE 活力随 pH 值的升高而升高,pH 值 > 7.4 时,酶活力随 pH 值的升高而降低。

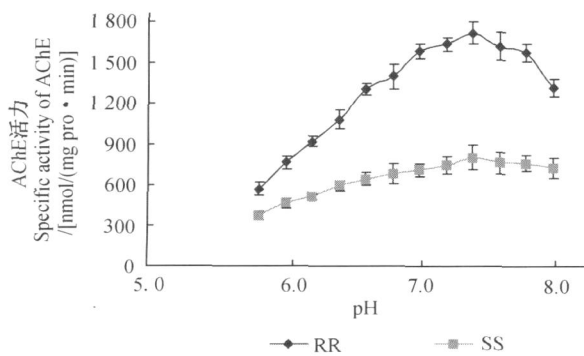


图 1 缓冲液 pH 对 RR- 和 SS-AChE 活力的影响

Fig. 1 Effect of pH values on specific activity of AChE from RR and SS strains

2.2 温度对 RR- 和 SS-AChE 活力的影响

温度对 RR- 和 SS-AChE 活力的影响存在明显差异,其最适温度分别为 37 和 34(见图 2)。温度对 AChE 的作用具有双重影响,一方面温度升高可加速酶反应速度,另一方面由于 AChE 是蛋白质,温度升高可加速蛋白的变性速度,因而在较低的温度范围内,酶反应速度随温度升高而增大,但是超过一定温度后,酶反应速度反而下降。

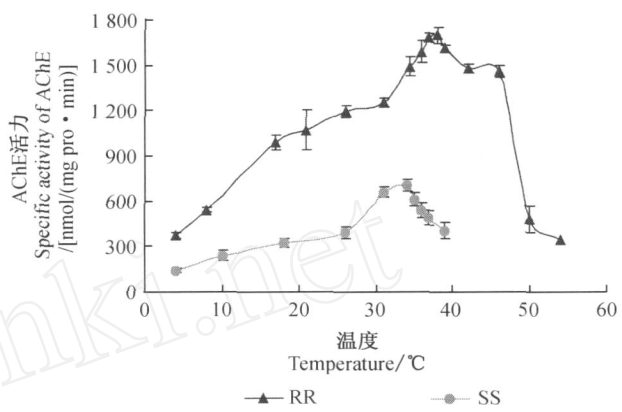


图 2 温度对 RR- 和 SS-AChE 活力的影响

Fig. 2 Influence of temperature to RR- and SS-AChE activity

2.3 RR- 和 SS-AChE 底物特异性

表 1 显示了 SS- 和 RR-AChE 对底物 ATCh、BTCh、PTCh 的米氏常数 (K_m) 和最大反应速率 (V_{max})。比较 SS-AChE 对 3 种底物的 K_m 值,发现其对 ATCh 的 K_m 值最小,说明 ATCh 是该酶的最佳底物。比较 RR-AChE 对 3 种底物的 K_m 值,发现其对 BTCh 的 K_m 值最小,PTCh 次之,ATCh 最大。RR-AChE 对底物 ATCh 的 K_m 值是 SS-AChE 的 3.92 倍,V_{max} 值是 SS-AChE 的 2.22 倍。RR- 和 SS-AChE 的 V_{max} 和 K_m 值的差异表明这两个品系存在着不同类型的 AChE。

2.4 RR- 和 SS-AChE 的稳定性

采用不可逆性的热灭活方法,变性温度范围从 40 至 60。利用一级变性速率常数 (K_d) 与绝对温度的倒数 (1/K) 作图 (Arrhenius plot),发现 RR-AChE 热稳定性趋势要比 SS-AChE 的低(图 3),而 RR 与 SS 混合的 AChE (1:1) 的热稳定性介于两者之间。

2.5 八种抑制剂对 RR- 和 SS-AChE 的 K_i 值测定

离体抑制试验发现,RR-AChE 对 8 种抑制剂均存在不同程度的不敏感性。RR-AChE 对 CB₅s 的

表 1 RR 和 SS-AChE 水解 ATCh、BTCh 和 PTCh 的米氏常数 (K_m) 和最大反应速率 (V_{max})Table 1 K_m and V_{max} of ATCh, BTCh and PTCh hydrolyzed by RR- and SS-AChE

底物 Substrate	$K_m \pm SE / (\mu\text{mol/L})$		比值 (RR/SS)	$V_{max} / [\mu\text{mol}/(\text{mg protein} \cdot \text{min})]$		比值 (RR/SS)
	SS	RR		SS	RR	
ATCh	72.38 ± 9.08	283.95 ± 50.40	3.92	1 275.28 ± 98.34	2 827.88 ± 333.61	2.22
BTCh	75.61 ± 1.61	129.71 ± 19.74	1.72	285.94 ± 3.64	309.56 ± 19.49	1.08
PTCh	139.54 ± 9.88	197.93 ± 23.81	1.41	388.28 ± 14.24	1 322.30 ± 85.23	3.41

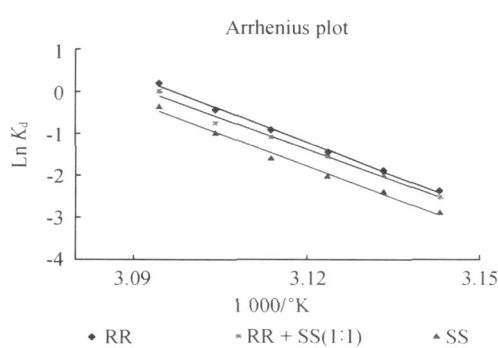


图 3 RR 和 SS-AChE 的热稳定性

Fig. 3 The thermal stabilization of RR- and

SS-AChE

不敏感性要高于对 OPs, 这一结果与活体的生物测定结果相吻合^[5], 即 K_i (SS/RR) 比值越大, LD_{50} (RR/SS) 比值越大。其中对甲萘威的不敏感性最高, K_i (SS/RR) 达 66.15 倍, 其次为残杀威、克百威和灭多威, 分别为 46.77、28.15 和 15.00 倍; 对 4 种 OPs 的抗性较低, 对甲胺磷、马拉氧磷、氧乐果和氧化三唑磷的抗性分别为 12.13、7.66、3.81 和 2.25 倍。同时通过酶与抑制剂的亲和力常数 (K_a) 值的测定发现, RR 品系的 K_a 值均高于 SS 品系, 但 K_2 值均低于 SS 品系 (表 3)。

3 讨论

昆虫对 OP 和 CB 类杀虫剂的靶标抗性与 ace

表 2 八种抑制剂对 SS 和 RR-AChE 的双分子反应速率常数 (K_i) 值Table 2 Bimolecular rate constants (K_i) of eight inhibitors to SS- and RR-AChE

抑制剂 Inhibitor	$K_i \pm SE / (\mu\text{mol}^{-1} \cdot \text{min}^{-1})$		比值 Ratio (SS/RR)
	SS	RR	
残杀威 propoxur	0.29 ± 0.01	0.62 × 10 ⁻² ± 0.02 × 10 ⁻²	46.77*
灭多威 methomyl	0.30 ± 0.03	0.02 ± 0.01	15.00*
克百威 carbofuran	0.76 ± 0.15	0.27 × 10 ⁻¹ ± 0.04 × 10 ⁻¹	28.15*
甲萘威 carbaryl	0.43 × 10 ⁻¹ ± 0.04 × 10 ⁻¹	0.65 × 10 ⁻³ ± 0.09 × 10 ⁻³	66.15*
马拉氧磷 malaoxon	0.49 ± 0.02	0.64 × 10 ⁻¹ ± 0.04 × 10 ⁻¹	7.66
氧乐果 omethoate	0.61 × 10 ⁻² ± 0.04 × 10 ⁻²	0.16 × 10 ⁻² ± 0.02 × 10 ⁻²	3.81
氧化三唑磷 triazophosoxon	0.54 × 10 ⁻² ± 0.05 × 10 ⁻²	0.24 × 10 ⁻² ± 0.04 × 10 ⁻²	2.25
甲胺磷 methamidophos	0.97 × 10 ⁻³ ± 0.02 × 10 ⁻³	0.80 × 10 ⁻⁴ ± 0.06 × 10 ⁻⁴	12.13

* $P < 0.05$

突变有关, 目前涉及 ace 突变的昆虫已有 20 多种^[4]。昆虫的 ace 突变有可能导致 AChE 对 OPs 和 CBs 的敏感度降低^[8, 15~17]。抗性马铃薯叶甲 Lepidotarsa decemlineata 的 AChE 的丝氨酸变突为甘氨酸, 不仅会导致其对谷硫磷敏感度降低, 还会对马铃薯叶甲的内禀增长率和相对适合度产生负面影响^[15]。Shi 等研究表明, 抗性果蝇适合度与 AChE 基因突变也有一定的负相关性^[18]。在大多数 AChE 变构引起的昆虫抗性中, 抗性程度与 K_i 之间具有良好的相关性^[6, 18]。笔者通过对抗残杀威家蝇的活体 (in vivo) 与离体 (in vitro) 测定结果表明, 家蝇 RR 与 SS 品系的 LD_{50} 的比值^[5]与 SS

与 RR K_i 的比值之间有一定的正相关性 (表 2)。同时通过对家蝇 RR 和 SS-AChE 生化性质的研究发现, 家蝇 RR 和 SS-AChE 性质存在很大的差异。主要体现在: 1) RR 和 SS-AChE 水解底物 ATCh 的最适温度存在差异 (分别为 37 和 34), 而最适 pH 值均为 7.4。这一结果告诉我们, RR 和 SS-AChE 的特性存在差异, 若在同一条件下测定两者 AChE 活性, 则所得结果将是不确切的。2) 在最适的反应条件下, RR 和 SS-AChE 对 3 种底物 ATCh、BTCh、PTCh 的水解能力也存在差异, RR-AChE 对 ATCh 和 PTCh 两种底物的水解效率有明显的增高, V_{max} 值分别是 SS 的 2.22 和 3.41 倍; 而

表 3 八种抑制剂与 SS- 和 RR-AChE 的亲和力常数 (K_a) 和磷酸化或氨基甲酰化常数 (K_2)

Table 3 Affinity (K_a) and phosphorylation or carbamylation (K_2) constants of eight inhibitors with SS- and RR-AChE

抑制剂 Inhibitor	$K_a \pm SE / \mu\text{mol}$		RR / SS	$K_2 \pm SE / (\text{m in}^{-1})$		RR / SS
	SS	RR		SS	RR	
残杀威 propoxur	87. 87 \pm 23	3. 02 \pm 0. 11	29. 10	0. 55 \pm 0. 03	0. 87 \pm 0. 04	0. 63
灭多威 methomyl	52. 63 \pm 3. 59	2. 93 \pm 0. 04	17. 96	0. 76 \pm 0. 05	0. 87 \pm 0. 03	0. 87
克百威 carbofuran	56. 26 \pm 3. 69	3. 12 \pm 0. 09	18. 03	1. 52 \pm 0. 04	2. 38 \pm 0. 43	0. 64
甲萘威 carbaryl	335. 1 \pm 23. 7	24. 16 \pm 1. 23	13. 87	0. 22 \pm 0. 01	1. 04 \pm 0. 02	0. 21
马拉氧磷 malaoxon	11. 25 \pm 1. 53	4. 38 \pm 0. 03	2. 57	0. 72 \pm 0. 05	2. 13 \pm 0. 19	0. 34
氯乐果 omethoate	88. 2 \pm 22. 6	78. 49 \pm 8. 22	11. 10	0. 31 \pm 0. 02	0. 45 \pm 0. 03	0. 69
氧化三唑磷 triazophosoxon	261. 1 \pm 15. 6	163. 7 \pm 19. 9	1. 60	0. 64 \pm 0. 03	0. 88 \pm 0. 06	0. 73
甲胺磷 methamidophos	1. 54 $\times 10^4$ \pm 1. 360	5. 294 \pm 5. 51	2. 90	1. 24 \pm 0. 96	5. 12 \pm 0. 21	0. 24

对 3 种底物的亲和力均有不同程度的下降, K_m 值比分别是 SS-AChE 的 3. 92、1. 72 和 1. 41 倍, 尤其对底物 ACh 的亲和力下降最为明显, 表明 RR 家蝇在对杀虫剂形成抗性时有可能产生一个催化效率更高的 AChE^[2]。3) RR-AChE 水解 ACh 的活力明显高于 SS-AChE。4) RR-AChE 的热稳定性要低于 SS-AChE。5) RR-AChE 对各种抑制剂的 K_i 值和磷酸化或氨基甲酰化常数 (K_2) 均低于 SS-AChE, 而抑制剂与 RR-AChE 的亲和力常数 (K_a) 值均大于 SS-AChE。

这些研究结果不仅对研究抗性和敏感昆虫 AChE 具有重要的提示作用, 而且无论从活体、离体到基因水平和异体表达的功能蛋白都证明抗性和敏感品系的 AChE 在性质上不同, 这为设计合成和筛选反抗性化合物提供了重要依据。

参考文献:

- [1] LIM ei (李梅), HE Feng-qin (何凤琴), QIU Xing-hui (邱星辉). 家蝇抗药性的分子遗传机制 [J]. Acta Parasitologica et Medica Entomologica Sinica (寄生虫与医学昆虫学报), 2005, 12 (4): 238-244.
- [2] FOURNIER D, MUTERO A. Modification of Acetylcholinesterase as a Mechanism of Resistance to Insecticides [J]. Comp Biochem Physiol, 1994, 108C (1): 19-31.
- [3] XU Xin-jun (许新军), HAN Zhao-jun (韩召军), JIANG Xiao-jing (姜晓静). 昆虫 AChE 基因变异抗药性机制研究 [J]. Chinese Bulletin of Entomology (昆虫知识), 2007, 44 (2): 191-194.
- [4] WANG Dun (王敦), TANG Zhen-hua (唐振华), SHANG Jin-yan (尚金燕), et al. 昆虫乙酰胆碱酯酶基因研究进展 [J]. Acta Entomologica Sinica (昆虫学报), 2006, 49 (3): 497-503.
- [5] TAO L M, SHIM A, YUANG J Z, et al. Resistance Pattern and Point Mutations of Insensitive Acetylcholinesterase in a Carbamate-resistant Strain of Housefly (*Musca domestica*) [J]. Pestic Biochem Physiol, 2006, 86: 1-6.
- [6] WALSH S B, DOLDEN T A, MOORES G D, et al. Identification and Characterization of Mutations in Housefly (*Musca domestica*) Acetylcholinesterase Involved in Insecticide Resistance [J]. Biochem J, 2001, 359: 175-181.
- [7] KOZAKI T, SHONO T, TOMITA T, et al. Fenitroxon Insensitive Acetylcholinesterases of the Housefly, *Musca domestica* Associated with Point Mutations [J]. Insect Biochem Mol Biol, 2001, 31: 991-997.
- [8] KRISTENSEN M, HUANG J, QIAO C L, et al. Variation of *Musca domestica* L. Acetylcholinesterase in Danish Housefly Populations [J]. Pest Manage Sci, 2006, 62: 738-745.
- [9] SHIMING AN (施明安). Expression and Characterization of Acetylcholinesterases from *Drosophila melanogaster* and *Musca domestica* (果蝇和家蝇乙酰胆碱酯酶的表达和功能研究) [D]. Beijing (北京): Graduate University of Chinese Academy of Sciences (中国科学院研究生院), 2003.
- [10] ELLMAN G L, COUTNEY K D, ANDRES V, et al. A New and Rapid Colorimetric Determination of Acetylcholine-sterase Activity [J]. Biochem Pharmacol, 1961, 7: 88-95.
- [11] GORDON M A, CARPENTER D E, BARRETT H W, et al. Determination of Normality of Cholinesterase Solutions [J]. Anal Biochem, 1978, 85: 519.
- [12] FOURNIER D, BRIDE J M, HOFFMANN F, et al. Acetylcholinesterase: Two Types of Modifications Confer Resistance to Insecticide [J]. Biochem J, 1992, 267: 14270-14274.
- [13] MAIN A R. Affinity and Phosphorylation Constant for the Inhibition of Esterases by Organophosphates [J]. Science, 1964, 144: 992.
- [14] BRADFORD M M. A Rapid and Sensitive Method for the Quantitation of Microgram Quantities of Protein Utilizing the Principle of Protein-dye Binding [J]. Anal Biochem, 1976, 72: 248-254.
- [15] ZHU K Y, LEE S H, CLARK J M. A Point Mutation of Acetylcholinesterase Associated with Azinphos-methyl Resistance and Reduced Fitness in Colorado Potato Beetle [J]. Pestic Biochem Physiol, 1996, 55: 100-108.
- [16] ZHU K Y, CLARK J M. Validation of a Point Mutation of Acetylcholinesterase in Colorado Potato Beetle by Polymerase Chain Reaction Coupled to Enzyme Inhibition Assay [J]. Pestic Biochem Physiol, 1997, 57: 28-35.
- [17] TAYOR P, RADIC Z. The Cholinesterases: From Genes to Proteins [J]. Annu Rev Pharmacol Toxicol, 1994, 34: 281-320.
- [18] SHIM A, LOUGARRE A, ALIES C, et al. Acetylcholinesterase Alterations Reveal the Fitness Cost of Mutations Conferring Insecticide Resistance [J]. BMC Evolutionary Biology, 2004, 4: 1471-2148.

(Ed. JIN SH)